

# تحلیل رفتارسنگی حفاری تونل مکانیزه در خاک‌های دانه‌بی (مطالعه‌ی متروی تبریز)

مهمشی عمارت، شریف، (زمستان ۱۳۹۸)، دوری ۲ - ۵، شماره ۲ / ۴، ص. ۱۱۰ - ۱۴۰، (پادشاه قاجار)

امیرحسن رضایی\*

(استادیار) دانشکده فنی و مهندسی، دانشگاه شهید مدنی، آذربایجان

مجتبی شیروزه حق (داسچوی کارشناسی ارشد)

هوشنگ کاتبی (دانشیار)

دانشکده مهندسی عمران، دانشگاه تبریز

در مطالعه‌ی حاضر نشستهای ناشی از حفاری تونل خط ۲ متروی تبریز در محدوده‌ی شفت غربی تا ایستگاه ۲ S<sup>۰</sup> (از متر ۱۸۰۰ تا ۳۸۰۰ ارائه شده است. در محدوده‌ی ذکر شده تونل مترو با استفاده از دستگاه TBM-EPB در خاک با تناوب بالای آبرفت درشت دانه (SM) و درصد پائین ریزدانه (ML) در زیر سطح ایستابی حفاری شده است. از این رو با کمی اختلاض می‌توان زمین را در محدوده‌ی اشاره شده، درشت دانه با چسبندگی کم در نظر گرفت. نشستهای اندازه‌گیری شده با استفاده از روابط گاووس تحلیل برگشتی شده و جزئیات نشستهای درجهت طولی و عرضی، میزان تطابق روابط گاووس با واقعیت و روند تکامل نشستهای با پیشروی حفاری مفصلأً بررسی شده است. علاوه بر این، فشارهای اعمالی به جبهه‌ی کار و فشار تریق دوغاب در پشت سکمنت‌ها نیز ارائه و تأثیر آن‌ها در نشستهای و پارامتر افت حجم زمین بررسی شده است.

rezaei.ah@azaruniv.ac.ir  
mshirzeh94@ms.tabrizu.ac.ir  
katebi@tabrizu.ac.ir

واژگان کلیدی: نشستهای سطحی، افت حجم زمین، فشار جبهه‌ی کار، حفاری مکانیزه، متروی تبریز.

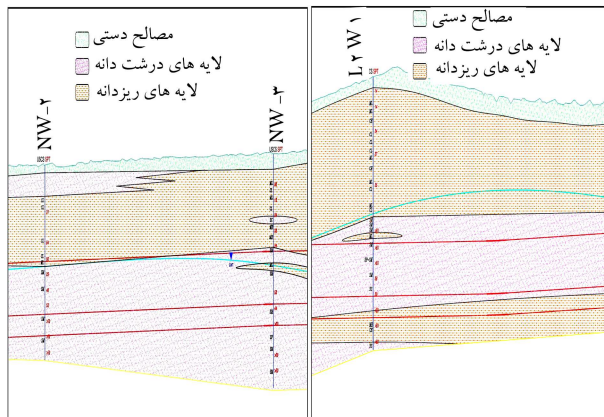
## ۱. مقدمه

حفاری تونل در محیط‌های شهری، جابه‌جایی‌هایی را در زمین به وجود می‌آورد که ممکن است در سازه‌های موجود آثار منفی بگذارند. به ویژه هنگامی که حفاری زیرزمینی در خاک‌های سیست و اشیاع که به وفور در محیط شهری یافت می‌شود، انجام بگیرد.<sup>[۱]</sup> از این رو در گام طراحی تونل، از مدل‌هایی برای بررسی و پیش‌بینی خطرات ناشی از حفاری استفاده می‌شود. با وجود این، تحلیل برگشتی داده‌های حاصل از ابارگذاری و رفتارسنگی در طول اجرای عملیات، محاسبات گام طراحی و حتی روش‌های کاهش نشست را به روزرسانی می‌کند.<sup>[۲]</sup> امروزه استفاده از روابط تجربی با فرم بسته، یکی از راه‌های متداول برای پیش‌بینی نشستهای ناشی از تونل‌سازی در شرایط زمین آزاد (عدم وجود سازه‌های سطحی)<sup>[۳]</sup> است.<sup>[۴]</sup> البته روابط مذکور می‌توانند تخمین اولیه‌ی از نشستهای سطحی را در صورت وجود ساختمان‌های سطحی و زیرساخت‌های شهری ارائه کنند.<sup>[۵]</sup> در یک مسئله‌ی واقعی، نشستهای ناشی از حفاری مکانیزه‌ی تونل به سه مؤلفه‌ی اصلی تقسیم می‌شوند: مؤلفه‌ی اول با پیشروی سپر رخ می‌دهد و مؤلفه‌های دوم و سوم به ترتیب به دلیل فضای خالی انتهای سپر و تحکیم در خاک‌های رسی اتفاق می‌افتد.<sup>[۶]</sup> در هنگام تحلیل جابه‌جایی‌های ناشی از تونل‌سازی در زمین، دو مؤلفه‌ی اول و دوم برای حاضر، داده‌های واقعی مربوط به نشستهای سطحی، فشار جبهه‌ی کار و فشار تریق دوغاب در طول ۲۰۰۰ متر از خط ۲ متروی تبریز (در حد فاصل شفت غربی تا ایستگاه S<sup>۰</sup>) مطالعه و با تحلیل برگشتی، میزان تطابق تخمین‌های اولیه مبتنی بر روابط تجربی با واقعیت بررسی شده است (شکل ۱).

\* نویسنده مسئول

تاریخ: دریافت ۱۰/۵/۱۳۹۶، اصلاحیه ۱/۲، پذیرش ۱۳۹۷/۲/۹

DOI:10.24200/J30.2018.5692.2264



شکل ۲. پروفیل زمین‌شناسی مسیر خط ۲ متروی تبریز، کیلومتراز تونل: (چپ) ۳+۶۰۰-۳+۲۰۰ و (راست) ۴+۵۰-۴+۸۵۰-۲+۸۵۰.

غربی تا ایستگاه ۱ S<sup>۰</sup> برابر ۱۶/۶۹ متر و در حد فاصل ایستگاه ۱ S<sup>۰</sup> تا ایستگاه ۲ S<sup>۰</sup> با افزایش قابل توجه برابر با ۲۲/۱۳ متر است.<sup>[۱]</sup>

پیش روی دستگاه TBM با استفاده از جک‌های هیدرولیکی که بر روی محیط بیرونی سیر دستگاه واقع شده‌اند، تأمین می‌شود. جک‌های مذکور با اعمال فشار بر روی سکمنت‌های پیشین نصب شده، دستگاه TBM را به پیش می‌رانند. فضای خالی پشت سکمنت‌ها (فضای بین قطر بیرونی حلقه‌ی نهایی پوشش تونل و مقطع حفاری) با تزریق دوغابی پر می‌شود که از سیمان و مایع شتاب دهنده تشکیل شده است. این دوغاب از انتهای سپر تزریق می‌شود.<sup>[۲]</sup>

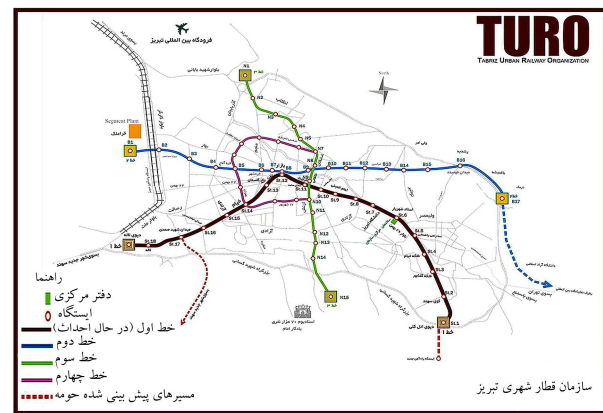
### ۳. روش تجربی برآورد نشستهای ناشی از تونل‌سازی

متداول‌ترین روش تجربی برای پیش‌بینی جابه‌جایی‌های زمین مبتنی بر توزیع گاوس است. پک<sup>۰</sup> در سال ۱۹۶۹ برای اولین بار نشان داد که منحنی نشستهای عرضی، پس از انجام عملیات تونل‌سازی در بسیاری از موارد با تابع گاوس تطبیق خوبی دارد. بر این اساس در یک مقطع عمود بر محور تونل و در فاصله‌ی کافی از جبهه‌ی تونل، پروفیل نشست در حالت آزاد زمین با استفاده از منحنی توزیع گاوس (معادله‌ی ۱) برآورد می‌شود:

$$S_v(x) = S_{v,\max} e^{-\frac{x^2}{4i_x^2}} \quad (1)$$

که در آن،  $S_{v,\max}$  نشست سطحی پیشینه در بالای محور تونل،  $x$  فاصله‌ی افقی از محور تونل،  $i_x$  فاصله‌ی افقی نقطه‌ی عطف منحنی نشست از محور تونل و  $S_v$  نشست در فاصله‌ی  $x$  از محور تونل است.<sup>[۱]</sup> همچنین فاصله‌ی نقطه‌ی عطف منحنی نشست از محور تونل است،  $x_e$  که عرض منحنی نشست را تعیین می‌کند و با رها مطالعه شده است. اوریلی<sup>۱۱</sup> و نیو<sup>۱۲</sup> (۱۹۸۲)، نیز نتایج تحلیل‌های متعدد رگرسیون خطی خود را که بر مبنای داده‌های اندازه‌گیری شده در محل انجام شده بودند، ارائه دادند. بدین ترتیب مشخص شد که  $x_e$  رابطه‌ی مستقیمی با عمق تونل دارد. در این حال نتایج نشان داد رابطه‌ی مشخصی بین  $x_e$  و قطر تونل (به جز در تونل‌های بسیار کم عمق)، با نسبت سریع به قطر کمتر از ۱ برقار نیست. از این رو، اوریلی و نیو، معادله‌ی ۲ را برای پارامتر  $x_e$  پیشنهاد داده‌اند:<sup>[۱۳]</sup>

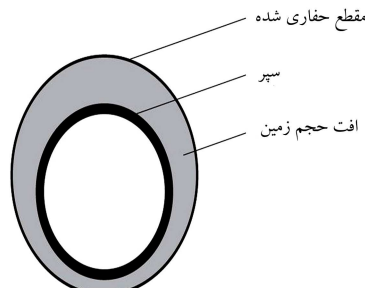
$$i_x = K z \quad (2)$$



شکل ۱. شماتیک خطوط قطار شهری تبریز.

## ۲. معرفی مشخصات خط ۲ متروی تبریز

خط ۲ متروی تبریز از اراضی غرب منطقه‌ی قرامدک شروع شده و پس از عبور از مرکز شهر (سه راه محققی) به سمت شمال شرقی تبریز ادامه پیدا کرده و درنهایت در نمایشگاه بین‌المللی تبریز به پایان می‌رسد. طول کل خط ۲ متروی تبریز ۲۲/۵ کیلومتر است و در شکل ۱، مسیر آن با رنگ آبی نشان داده شده است. براساس گزارش مطالعات ژوتکنیکی انجام شده، محدوده‌ی موردنظری در نوشтар حاضر یعنی حد فاصل شفت غربی تا ایستگاه S<sup>۰</sup>۲ (کیلومتراز ۱+۸۰۰ تا ۳+۸۰۰) را می‌توان به دو ناحیه‌ی کلی تقسیم کرد؛ ناحیه‌ی ۱: حد فاصل شفت غربی تا میدان ماشین‌سازی (از ابتدای مسیر تا کیلومتراز ۲+۵۰۰ تبریز بوده و خاک آن از جنس رسوبات آبرفتی ریزدانه در سطح و رسوبات شن و ماسه آبدار در عمق است. مسیر تونل در ناحیه‌ی یک، عمدتاً درون رسوبات آبرفتی درست دانه با نفوذپذیری بالا قرار دارد. عمق آب زیرزمینی در محدوده‌ی ناحیه‌ی یک بین ۱۳ تا ۱۶ متر متغیر است. ناحیه‌ی ۲: حد فاصل میدان ماشین‌سازی تا ایستگاه S<sup>۰</sup>۲ (از کیلومتراز ۲+۵۰۰ تا ۳+۸۰۰) خط ۲ متروی تبریز بوده و خاک آن از جنس رسوبات آبرفتی ریزدانه‌ی رسی و سیلتی است. در میان لایه‌های آبرفتی ریزدانه‌ی اشاره شده، اگرچه میان لایه‌هایی از رسوبات ماسه‌بی هم وجود دارد، اما مسیر تونل به طور عمد از درون رسوبات آبرفتی ریزدانه می‌گذرد. عمق آب زیرزمینی در محدوده‌ی ناحیه‌ی دو بین ۱۴ تا ۲۲ متر متغیر است. در شکل ۲، پروفیل زمین‌شناسی مسیر در کیلومترهای ۲+۴۵۰ تا ۲+۸۵۰ و ۳+۶۰۰ تا ۳+۲۰۰ می‌شود. حفاری تونل خط ۲ متروی تبریز با استفاده از دستگاه TBM-EPB انجام شده است. دستگاه TBM-EPB برای حفاری از کله‌ی حفار دورانی<sup>۷</sup> استفاده می‌کند و مصالح حفاری شده در پیغمبر<sup>۸</sup> تحت فشار نگهداری می‌شوند تا پایداری جبهه‌ی کار را تأمین کنند. فشار جبهه‌ی کار به طور کلی به عنوان تابعی از فشار جانبی زمین در حالت سکون در عمق محور تونل تنظیم می‌شود.<sup>[۲]</sup> قطر حفاری تونل خط ۲ متروی تبریز ۹/۴۹ متر، طول سپر دستگاه-TBM-EPB ۹ متر، قطر خارجی سپر در جلوی آن ۹/۴۶ متر و در انتهای آن: برابر ۹/۴۴ متر (۲ سانتی‌متر مخروطی) است. وزن دستگاه TBM برابر ۶۵ تن و وزن بخش پشتیبان آن در حدود ۳۲۰ تن است. تونل پس از حفاری، با قطعات پیش ساخته شده‌ی بتی (سکمنت<sup>۹</sup>) با ضخامت ۳۵ سانتی‌متر طول ۱/۵ متر نگهداری می‌شود. قطر بیرونی و قطر درونی حلقه‌ی نهایی پوشش تونل به ترتیب برابر ۹/۱۸ و ۸/۴۸ متر است. عمق متوسط محور تونل خط ۲ متروی تبریز در حد فاصل شفت



شکل ۴. افت حجم زمین.

است. افت حجم زمین با استفاده از معادله ۵ محاسبه می‌شود (شکل ۴):

$$V_t = V_S / A_t \times \% 100 \quad (5)$$

که در آن،  $V_S$  به معنای حجم منحنی نشست به ازاء ۱ متر از طول تونل است و مقدار آن از حل معادله ۶ به دست می‌آید:

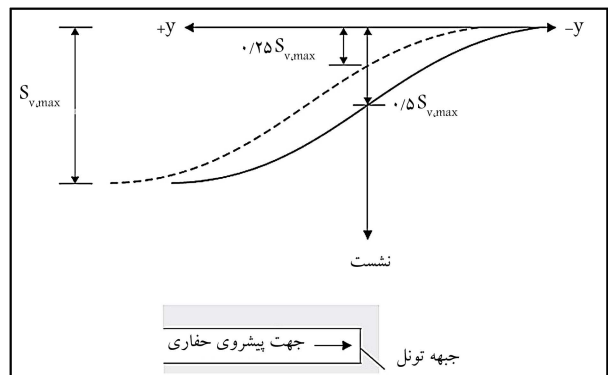
$$V_S = \int_{+\infty}^{\infty} S_v(x) dx = \sqrt{2\pi} i_x S_{v,\max} \quad (6)$$

که در آن،  $S_{v,\max}$  نشست بیشینه در بالای محور تونل و  $i_x$  نقطه‌ی عطف منحنی نشست‌های عرضی در مقطع مورد نظر است. [۱۰]

#### ۴. جزوئیات رفتارسنجی، ارائه و تفسیر نتایج

در طول عملیات حفاری تونل خط ۲ متروی تبریز، پین‌های <sup>۱۵</sup> نشست‌سنجی استاندارد مطابق ضابطه <sup>۶۹۵</sup> معاونت امور فنی و توسعه‌ی امور زیربنایی برای فرایت و ثبت نشست سطحی در بالای محور تونل نصب شده است. فاصله‌ی طولی بین پین‌های مذکور،  $10$  متر است. تا زمان نگارش نوشتار حاضر، داده‌های مربوط به نشست سطحی در  $180$  پین در حد فاصل کیلومتر  $1+800$  تا  $3+800$  قرائت و ثبت شده است (جدول ۱). همچنین در کیلومتر  $2+577$  با نصب  $2$  پین به فاصله  $14$  و  $10$  متری از محور تونل در طرفین آن، نشست‌های عرضی قرائت شده است. در تک تک سگمنت‌های نصب شده نیز به عنوان حلقه‌ی پوشش تونل، فشار اعمال شده به جبهه‌ی کار و در حلقه‌های نصب شده پس از ایستگاه  $S_0$   $1$  (کیلومتر  $3+140$  به بعد) فشار تریق دوغاب در پشت سگمنت‌ها در محل تاج تونل ثبت شده است. با توجه به حجم بسیار زیاد داده‌های رفتارسنجی شده مربوط به خط  $2$  تبریز و ضرورت اختصار در نوشتار حاضر، مقطع برای بررسی منحنی نشست‌های طولی انتخاب شده است. عنوان هر مقطع، متراز هر مقطع با به عبارت دقیق تر فاصله‌ی آن مقطع از نقطه‌ی شروع حفاری تونل خط  $2$  متروی تبریز را نشان می‌دهد. در هر کدام از مقطع‌های اشاره شده، نشست‌های ثبت شده در بازه  $-40$  تا  $+50$  متری از جبهه‌ی حفاری تونل، بحث و بررسی شده‌اند. همچنین از کیلومتر  $1+900$  تا  $3+700$  در  $53$  پین با فاصله‌ی بیشینه  $50$  متری از یکدیگر، نشست سطحی بیشینه (نهایی) در هرین، نشست در بالای جبهه‌ی تونل، افت حجم زمین، فشار جبهه‌ی کار و فشار تریق دوغاب تحلیل و بررسی شده است. در جدول ۱، متراز پین‌ها، نشست بیشینه (نهایی) و عمق محور تونل در آن‌ها ارائه شده است.

در شکل ۵، نشست‌های اندازه‌گیری شده در مقطع کیلومتر  $2+577$  تونل در کتاب منحنی‌های نشست‌های عرضی رسم شده با رابطه‌ی تجربی گاوس در آن



شکل ۳. منحنی نشست‌های طولی ناشی از حفاری تونل.

که در آن،  $K$  پارامتر عرض منحنی و  $Z$  عمق محور تونل است. پارامتر  $K$  به ذات خاک بستگی دارد و در ادبیات فنی، پیشنهادهای مختلفی برای مقدار آن توصیه شده است. در حالت کلی با افزایش مقدار  $K$ ، منحنی گاوس عریض تر می‌شود. همچنین رانکین (۱۹۸۸)، مقدار پارامتر  $K$  را برای خاک رسی  $0.5$  و برای خاک ماسه بی  $0.25$  پیشنهاد کرده است. میر و تیلور (۱۹۹۷) نیز مقدار پارامتر  $K$  را بدون توجه به قطر تونل و روش حفاری، برای خاک رس سفت بین  $0.4$  و  $0.6$ ، برای خاک رس نرم بین  $0.6$  و  $0.75$  و برای خاک‌های شن و ماسه بین  $0.2$  و  $0.45$  توصیه کرده‌اند. [۱۱]

تونل‌ها معمولاً در خاک‌های شامل لایه‌های مختلف رسی و ماسه بی هستند، ساخته می‌شوند. برای تونل‌هایی که در خاک‌های چندلایه‌یی حفاری می‌شوند، اوربیل و نیو (۱۹۹۱)، معادله ۳ را معرفی کرده‌اند:

$$i_x = K_1 z_1 + K_2 z_2 \quad (3)$$

که در آن،  $K_1$  پارامتر عرض منحنی نشست لایه‌ی  $1$  با ضخامت  $Z_1$  و  $K_2$  پارامتر عرض منحنی لایه‌ی  $2$  با ضخامت  $Z_2$  است. [۱۰] معادله ۳، در حالتی که به عنوان مثال زمین دولایه‌یی باشد، نوشته شده و البته برای زمین‌های چندلایه‌یی نیز قابل تعمیم است.

در بررسی جایه‌جایی‌های ناشی از تونل‌سازی، علاوه بر نشست‌های عرضی، منحنی نشست‌های طولی نیز اهمیت خاصی دارد. همچنین اتو  $13$  و وودمان (۱۹۸۲) نشان دادند که برای تعیین منحنی نشست‌های طولی، می‌توان تونل را به صورت مجموعه‌یی از مقطع در راستای طولی آن در نظر گرفت و آثار نشست در هر یک از مقطع مذکور را به صورت تجمعی با هم جمع کرد. بنابراین و با این فرض که منحنی نشست‌های عرضی در هر یک از مقطع اخیر از تابع گاوس پیروی می‌کند، این نتیجه حاصل می‌شود که منحنی نشست‌های طولی هم از منحنی تجمعی احتمالی گاوس با معادله ۴ پیروی می‌کند: [۱۲]

$$S_v(y)_{x=0} = S_{v,\max} \frac{1}{i_y \sqrt{2\pi}} \int_{-\infty}^{y} e^{-\left(\frac{y-y'}{i_y}\right)^2} dy \quad (4)$$

که در آن،  $y$  فاصله‌ی افقی از جبهه‌ی تونل است و  $y'$  که فاصله‌ی نقطه‌ی عطف منحنی نشست‌های طولی از جبهه‌ی تونل را نشان می‌دهد، معمولاً برابر  $\pm 0.5$  فرض می‌شود (شکل ۳).

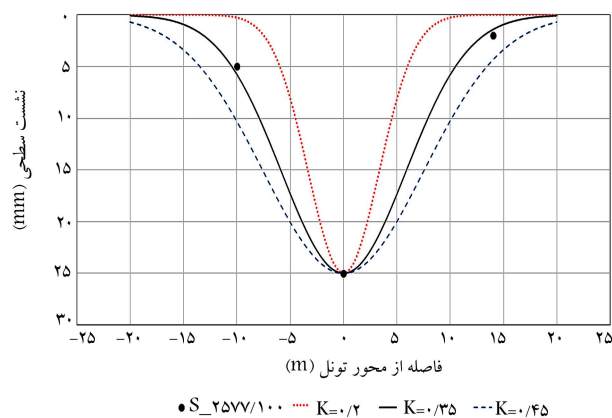
پارامتری که در حوزه‌ی تونل سازی اهمیت خاصی دارد، افت حجم زمین  $V_t$

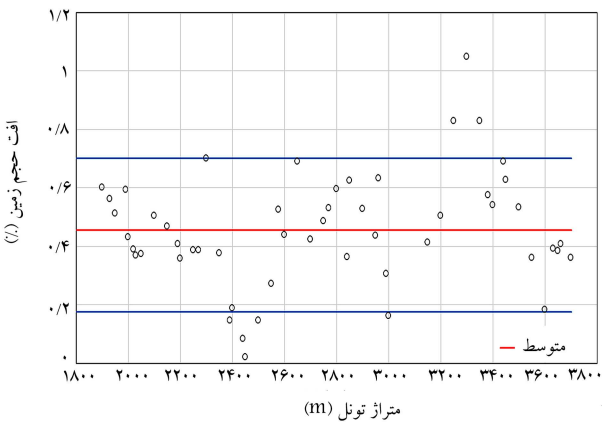
جدول ۱. مقادیر نشست سطحی ماکریم (نهایی) و عمق محور تونل در متراژهای منتخب ابزارگذاری شده (پین‌ها).

متراژ تول (m)	عمق محور تونل (m)	نشست سطحی بیشینه (mm)	متراژ تونل (m)	عمق محور تونل (m)	نشست سطحی بیشینه (mm)	متراژ تول (m)	عمق محور تونل (m)	نشست سطحی بیشینه (mm)
(m)	(m)	(mm)	(m)	(m)	(mm)	(m)	(m)	(mm)
۲۵	۲۱,۸	۱۷,۰۵۵	۲۷۷۰	۳۰	۱۳,۳	۱۶,۱۶۵	۱۹۰۰	
۲۸	۱۹,۹	۱۷,۱۳۵	۲۸۰۰	۲۸	۱۳,۳	۱۶,۱۶۵	۱۹۳۰	
۱۷	۱۹,۹	۱۷,۱۳۵	۲۸۴۰	۲۶	۱۳,۲	۱۵,۸۹۵	۱۹۵۰	
۲۹	۱۸,۲	۱۷,۳۶۵	۲۸۵۰	۳۰	۱۳,۲	۱۵,۸۹۵	۱۹۹۰	
۲۴	۱۸,۰	۱۷,۶۷۵	۲۹۰۰	۲۱	۱۳,۲	۱۶,۴۹۵	۲۰۰۰	
۲۰	۱۷,۴	۱۷,۵۲۵	۲۹۵۰	۱۹	۱۳,۲	۱۶,۴۹۵	۲۰۲۰	
۲۹	۱۷,۴	۱۷,۵۲۵	۲۹۶۰	۱۸	۱۳,۲	۱۶,۴۹۵	۲۰۳۰	
۱۴	۱۷,۴	۱۷,۵۲۵	۲۹۹۰	۱۸	۱۳,۲	۱۶,۶۵۵	۲۰۵۰	
۷	۱۷,۰	۱۸,۵۵۵	۳۰۰۰	۲۵	۱۳,۵	۱۶,۲۶۵	۲۱۰۰	
۱۶	۱۸,۲	۲۰,۷۴۵	۳۱۵۰	۲۲	۱۴,۰	۱۶,۳۹۵	۲۱۵۰	
۱۸	۱۷,۶	۲۲,۵۴۵	۳۲۰۰	۲۰	۱۴,۰	۱۶,۳۹۵	۲۱۹۰	
۲۷	۱۷,۸	۲۴,۶۸۵	۳۲۵۰	۲۰	۱۴,۲	۱۶,۴۱۵	۲۲۰۰	
۳۲	۱۷,۴	۲۶,۳۹۵	۳۳۰۰	۱۹	۱۴,۶	۱۶,۴۱۵	۲۲۵۰	
۲۶	۱۷,۴	۲۵,۶۵۶	۳۳۵۰	۱۹	۱۴,۶	۱۶,۴۱۵	۲۲۷۰	
۱۸	۱۷,۴	۲۵,۶۵۶	۳۳۸۰	۲۴	۱۴,۸	۱۶,۶۰۵	۲۳۰۰	
۱۸	۱۷,۴	۲۴,۱۷۵	۳۴۰۰	۱۸	۱۵,۰	۱۶,۸۴۵	۲۳۵۰	
۲۳	۱۷,۴	۲۴,۱۷۵	۳۴۴۰	۷	۱۵,۰	۱۶,۸۴۵	۲۳۹۰	
۲۳	۱۷,۴	۲۱,۹۹۵	۳۴۵۰	۹	۱۵,۸	۱۶,۸۶۵	۲۴۰۰	
۲۰	۱۶,۶	۲۱,۴۷۵	۳۵۰۰	۴	۱۵,۸	۱۶,۸۶۵	۲۴۴۰	
۱۴	۱۵,۶	۲۰,۷۹۵	۳۵۵۰	۱	۱۶,۰	۱۶,۸۹۵	۲۴۵۰	
۷	۱۴,۶	۲۱,۰۳۵	۳۶۰۰	۷	۱۷,۰	۱۶,۸۱۵	۲۵۰۰	
۱۵	۱۴,۶	۲۱,۰۳۵	۳۶۲۰	۱۳	۱۸,۰	۱۶,۸۷۵	۲۵۵۰	
۱۵	۱۴,۶	۲۰,۵۵۵	۳۶۵۰	۲۵	۱۸,۰	۱۶,۸۷۵	۲۵۷۷	
۱۶	۱۴,۶	۲۰,۵۵۵	۳۶۶۰	۲۱	۱۹,۴	۱۶,۸۱۵	۲۶۰۰	
۱۶	۱۴,۶	۲۰,۵۵۵	۳۶۹۰	۲۳	۲۰,۰	۱۶,۸۱۵	۲۶۵۰	
۱۴	۱۴,۲	۲۰,۷۱۵	۳۷۰۰	۲۰	۲۱,۰	۱۶,۹۹۵	۲۷۰۰	
				۲۳	۲۱,۸	۱۷,۰۵۵	۲۷۵۰	

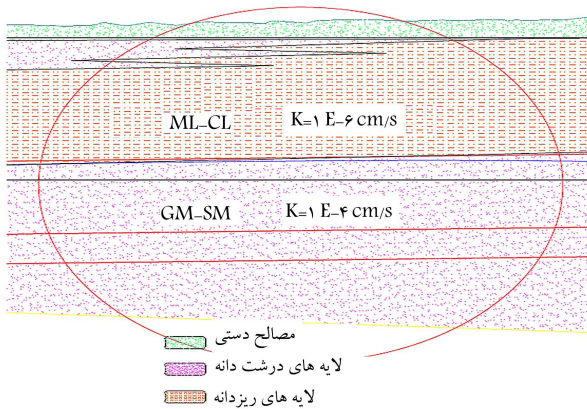
قطع مساحده می‌شوند. در هنگام ثبت نشستهای ذکر شده، جبهه‌ی تونل به اندازه‌ی کافی از مقطع  $2+577$  دور بوده است. براساس شکل ۵ واضح است که تابع گاوس با فرض مقدار  $3\text{m}$  برای  $K$  که تقریباً متوسط بازه‌ی پیشنهادی در ادبیات فمی برای خاک‌های عمدها درشت‌دانه است، تطابق کاملی با واقعیت دارد.

در شکل ۵، مقادیر مختلف  $K$  مشاهده شده برای پارامتر عرض منحنی نشست، به ازاء مقادیر مختلف  $K$  مشاهده شود. عمق محور تونل در کیلومتراز  $3+300$  به مقدار بیشینه‌ی خود در محدوده‌ی مورد بررسی رسیده و  $\frac{\pi}{4}$  را به طرز قابل توجهی افزایش داده است. چنانکه در شکل ۶ مشاهده شود، میانگین نشست سطحی بیشینه در طول مسیر حدود  $20$  میلی‌متر بوده و مقدار آن به استثناء  $3$  مقطع در بیشینه در طول مسیر از  $30$  میلی‌متر تجاوز نکرده است. در حد فاصل کیلومتراز  $2+400$  تا  $2+500$ ، نشستهای بیشینه کمترین مقدار خود را داشته‌اند. براساس مطالعات

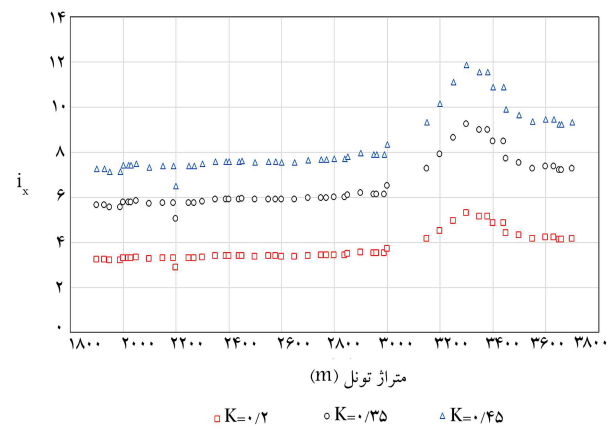

 شکل ۵. منحنی نشستهای عرضی در کیلومتراز  $2+577$



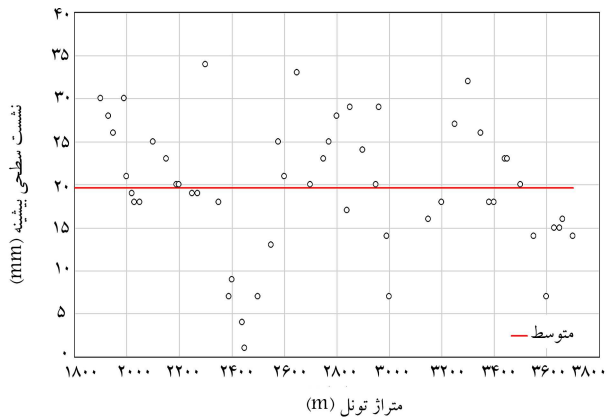
شکل ۸. افت حجم زمین با فرض مقدار  $K = 35^{\circ}$  برای  $K$ .



شکل ۹. نقشه‌ی زمین‌شناسی مهندسی کیلومتراز ۲+۷۰۰.



شکل ۶. مقادیر محاسبه شده برای پارامتر  $K$  در طول تونل.



شکل ۷. نشست‌های سطحی بیشینه در بالای محور تونل.

تا ۵۰ متر)، در پشت جبهه‌ی حفاری تونل به مقدار بیشینه‌ی خود رسیده است. نشست‌های سطحی بیشینه در ۱۷ مقطع از مقدار مجاز ۲۵ میلی‌متر تجاوز نکرده است. در ۲ مقطع فقط در یک نقطه در فاصله‌ی بیش از ۴۵ متر از جبهه‌ی تونل، نشست بیشینه به صورت جزئی از ۲۵ میلی‌متر بیشتر بوده و فقط در مقطع S-۲۷۰۶،۸ نشست‌های سطحی از محدوده‌ی مجاز عبور کرده است. در حالت کلی، دامنه‌ی نشست‌های طولی از شفت غربی تا ایستگاه S<sup>۰</sup>۲، بین نشست‌های طولی ثبت شده در مقطع S-۳۶۹۹ از بالا و مقطع S-۳۳۱۸ از پایین محدود بوده است. با تأمل بیشتر در شکل ۱۰ مشخص می‌شود که مقدار نشست سطحی درست در بالای جبهه‌ی حفاری S<sup>۰</sup>۱۹ در ۱۹ مقطع، به ۵ میلی‌متر محدود بوده است. از طرف دیگر شبکه تغییرات منحنی‌های نشست طولی تقریباً در فاصله‌ی ۱۰ متری در پشت جبهه‌ی حفاری افزایش معناداری داشته است. یعنی نشست‌های سطحی در پشت سپر TBM افزایش قابل توجهی پیدا کرده است. چنانچه بیشتر اشاره شد، لایه‌ی خاک ریزدانه پیرامون تونل در کیلومتراز ۲+۷۰۰ بیشترین سختی خود را داشته است. از این رو مکررین مقادیر نشست طولی در هنگامی که جبهه‌ی حفاری در کیلومتراز ۲+۵۵۹،۸۷ قرار گرفته است، در فاصله‌ی ۴ تا ۵ برابر قطر تونل از جبهه‌ی حفاری (حوالی متراز ۲۵۰۰) رخ داده است.

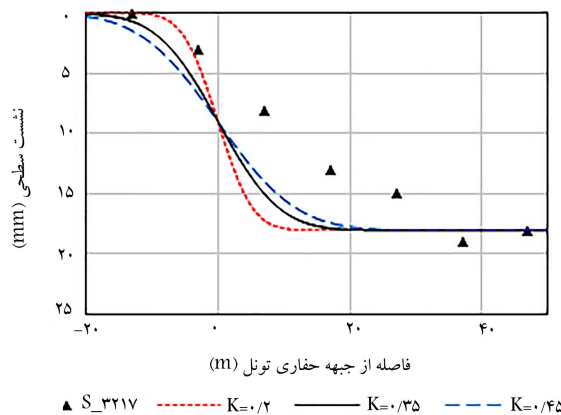
در شکل ۱۱ الی ۱۴، تکامل تدریجی نشست‌های سطحی با منحنی تجمعی احتمالی گاوی در ۴ مقطع مختلف محاسبه و منحنی نشست‌های طولی با فرض اینکه  $\alpha = \pi/4$  باشد، رسم شده است. مقطع‌های مذکور به صورت اتفاقی انتخاب شده‌اند. با توجه به شکل‌ها، منحنی‌های نشست‌های طولی به دست آمده از رابطه‌ی

SPT ژئوتکنیکی گمانه‌ی ۲ NW در کیلومتراز ۲+۵۰۰، بیشترین مقادیر آزمایش مربوط به لایه‌ی ریزدانه (CL) در بالای تاج تونل در محدوده‌ی مذکور ثبت شده است. به عبارت بهتر، مدل کشسانی زمین در کیلومتراز اخیر، بیشینه‌ی مقدار خود را داشته است.<sup>[۶]</sup>

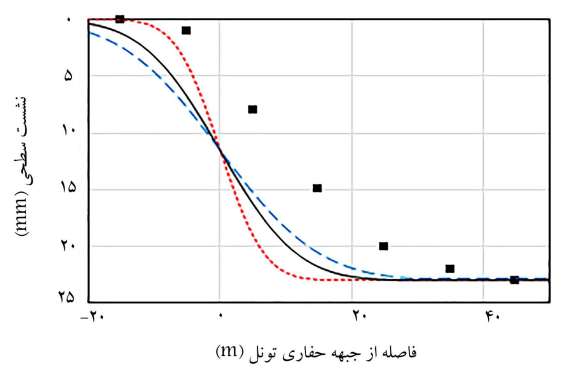
در حقیقت بزرگی افت حجم زمین به نوع خاک و روش تونل‌سازی بستگی دارد. به طور خاص در تونل‌سازی توسط دستگاه EPB با جبهه‌ی بسته در خاک‌های درشت‌دانه، یک مقدار محتمل برای میانگین افت حجم زمین برابر  $15\%$  مطرح شده است.<sup>[۱۲]</sup> با این توضیحات نتایج رفتارسنجی نشان می‌دهد عملیات حفاری ۲ متروی تبریز در محدوده‌ی شفت غربی تا ایستگاه S<sup>۰</sup>۲ (محدوده‌ی مورد مطالعه) به خوبی تحت کنترل بوده و افت حجم زمین با مقدار مجاز در ادبیات فنی و مطالعات پیشین کاملاً سازگار است.

شکل ۷ نشان می‌دهد که در حوالی کیلومتراز ۲+۷۰۰، عمق لایه‌ی ریزدانه بالای تونل با سختی پایین افزایش می‌یابد. بنابراین هنگامی که جبهه‌ی حفاری به کیلومتراز ۲+۷۰۶،۶۸ رسیده است، نشست‌ها در پشت آن به طور مستردی افزایش یافته و از محدوده‌ی نشست‌های طولی مسیر تجاوز کرده است.

در شکل ۸، تکامل تدریجی نشست‌های سطحی اندازه‌گیری شده بر روی محور تونل (منحنی‌های نشست‌های سطحی طولی) در ۲۰ مقطع مندرج در جدول ۲ به صورت توابعی از فاصله از جبهه‌ی تونل لا رسم شده است. با توجه به شکل ۱۰ می‌توان گفت نشست‌های سطحی در فاصله‌یی به اندازه‌ی قطر تونل (۱۰ متر) در جلوی جبهه‌ی حفاری آغاز شده و تقریباً در فواصل ۴ تا ۵ برابر قطر تونل (۴۰

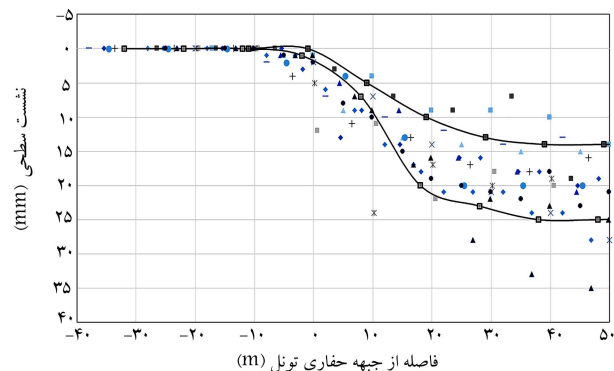


شکل ۱۳. نشستهای سطحی طولی اندازهگیری شده در بالای محور تونل و منحنی گاوس در مقطع S-۳۲۱۷.

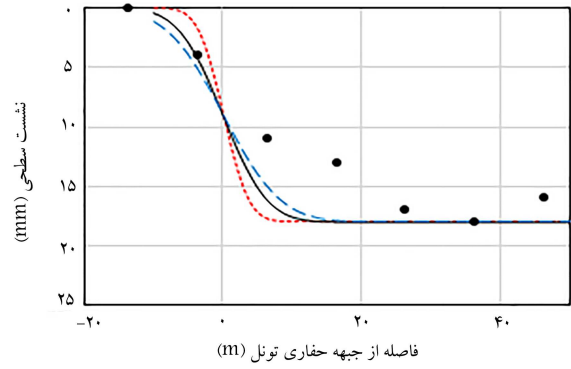


شکل ۱۴. نشستهای سطحی طولی اندازهگیری شده در بالای محور تونل و منحنی گاوس در مقطع S-۳۴۸۵.

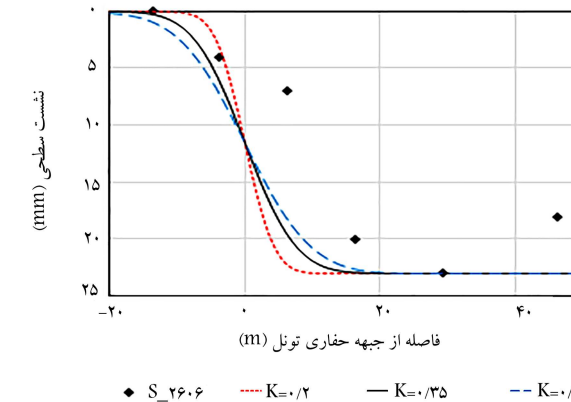
واقعیت رخداده است، پیش‌بینی شده است. در حد فاصل شفت غربی تا ایستگاه ۱، در محدوده‌ی متراز ۲۸۰۰ تا ۳۰۰۰، چسینندگی خاک به کمترین مقدار و در متراز ۲۷۹۰ تا ۲۸۳۰، سطح آب زیرزمینی به مقدار بیشینه‌ی خود رسیده است. این عوامل می‌توانند باعث افزایش نشستهای خاک در مقطع S-۳۴۸۵ (شکل ۱۴) و نیز عدم پیروی نشستهای آن از پیش‌بینی‌ها شده باشند. در مرود روند تکامل نشستهای سطحی ناشی از حفاری با دستگاه TBM، اتول و همکاران (۱۹۸۶) فرض کرده‌اند که در حالت کلی، نشست در بالای جبهه‌ی تونل با ۵۰٪ نشست بیشینه برابر است. [۱۵] میر [۱۶] و تیلور [۱۷] نیز نتیجه گرفته‌اند که برای تونل‌سازی با جبهه‌ی بسته، نشستهایی در حدود ۲۵ تا ۳۰ درصد نشست بیشینه در بالای جبهه‌ی تونل اتفاق می‌افتد. [۱۲] منحنی خط چین در شکل ۳ نتیجه‌گیری ذکر شده را نشان می‌دهد. همچنین کریگ [۱۸] و مویرورو [۱۹] اعلام کرده‌اند درصدی از نشست بیشینه که در جلوی سپر، طول و پشت سپر اتفاق می‌افتد، در خاک‌های مختلف فرق می‌کند. جدول ۲، محدوده‌ی درصدی‌های مذکور را در حالت کلی نشان می‌دهد. کریگ و مویرگزارش داده‌اند که در ۸۰ تا ۹۰ درصد موارد، نشست بیشینه هنگامی کاملاً اتفاق خواهد افتاد که جبهه‌ی حفاری تونل تا فاصله‌ی ۱ تا ۲ برابری قطر تونل از نقطه‌ی موردنظر دور شده باشد. همچنین بر روی محور تونل، نشستهای در فاصله‌ی برابر با نصف عرض منحنی نشستهای عرضی  $\left(\frac{2}{3}\right)$  از جبهه‌ی تونل آغاز می‌شود. [۱۶]



شکل ۱۵. نشستهای سطحی طولی اندازهگیری شده در بالای محور تونل.

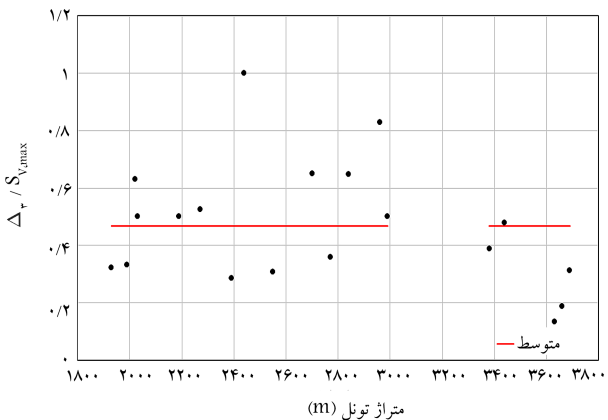


شکل ۱۱. نشستهای سطحی طولی اندازهگیری شده در بالای محور تونل و منحنی گاوس در مقطع S-2156.

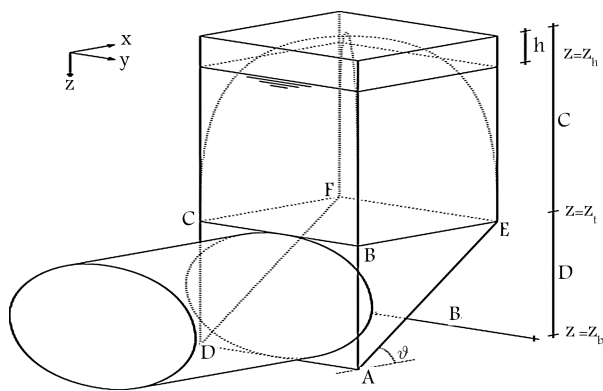


شکل ۱۲. نشستهای سطحی طولی اندازهگیری شده در بالای محور تونل و منحنی گاوس در مقطع S-2606.

تجربی گاوس با استفاده از مقدار  $35^{\circ}$  برای  $K$  تطابق زیادی با مقادیر نشستهای طولی اندازهگیری شده ندارد. براساس شکل ۱۱ الی ۱۴ می‌توان گفت تقریباً در فاصله‌ی  $\pm 2\sigma$  از جبهه‌ی تونل تابع تجمعی گاوس با استفاده از مقادیر مختلف  $K$  بیشنهادی در ادبیات فنی برای خاک‌های عمده‌ای درشت‌دانه، نشستهای بیشتری در قیاس با آنچه که در



شکل ۱۶. نسبت  $\Delta_2$  به نشست نهایی.



شکل ۱۷. مدل سطح گسیختگی گوهی فرضی جلوی جبهه‌ی کار.

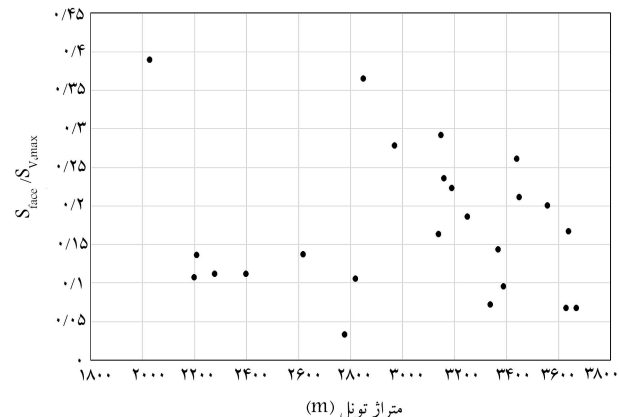
موقع بین  $30^{\circ}$  تا  $60^{\circ}$  بوده و میانگین  $46^{\circ}$  داشته است. به عبارت بهتر، به طور متوسط  $54\%$  از مقادیر نشست های سطحی اتفاق افتاده در یک مقطع، به فضای خالی انتهای سپر و فرایند تزریق دوغاب در پشت سگمنت ها مربوط بوده است.

برای بررسی های بیشتر تأثیر پارامترهای مهم EPB یعنی فشار جبهه‌ی کار و فشار تزریق دوغاب در پشت سگمنت ها در انتهای سپر، رابطه پارامترهای ذکر شده با نشست های مشاهده شده در خط  $2\text{~m}$  تبریز تحلیل شده است.

در حفاری با دستگاه TBM-EPB جهت جلوگیری از تخریب جبهه‌ی کار و هجوم خاک به درون تونل به ویژه در زمین های سُست که منجر به نشست قابل توجه زمین می‌شوند، مواد حفاری شده در کله‌ی حفاری باید متناسب با مقدار پیشروعی دستگاه خارج شوند. این امر منجر به ایجاد فشاری در چمپر می‌شود که به آن فشار جبهه‌ی کار می‌گویند.<sup>[۱۷]</sup> یکی از روش های بررسی پایداری ساختار خاک استفاده از روش های تحلیلی است که به کمک آنها می‌توان حدود ناپایداری را در ساختار خاک تعیین کرد. در مطالعه‌ی حاضر برای تحلیل فشار جبهه‌ی کار، با توجه به شرایط عمدها درشت دانه با چسبندگی کم خاک در طول مسیر خط  $2\text{~m}$  تبریز از روش جانسز  $^{[۲۱]}$ -اشتیز  $^{[۲۲]}$  که برای خاک های غیرچسبندۀ ارائه شده است، استفاده شده است. جانسز و اشتیز مدل سه بعدی جبهه‌ی کار را براساس گوهی خاک ایجاد شده در جبهه‌ی کار ارائه داده‌اند (شکل ۱۷). در روش تحلیلی مذکور، نیروهای ممکن محتمل در مکانیزم شکست با استفاده از آنالیز تعادل حدی بررسی می‌شوند.<sup>[۱۸]</sup> براساس رابطه ارائه شده توسط جانسز و اشتیز، میزان فشار جبهه‌ی کار از معادلات  $7$  الی  $10$  محاسبه می‌شود:

جدول ۲. روند کلی تکامل نشست های ناشی از حفاری با سپر به گزارش کریگ و مویر (۱۹۷۸).

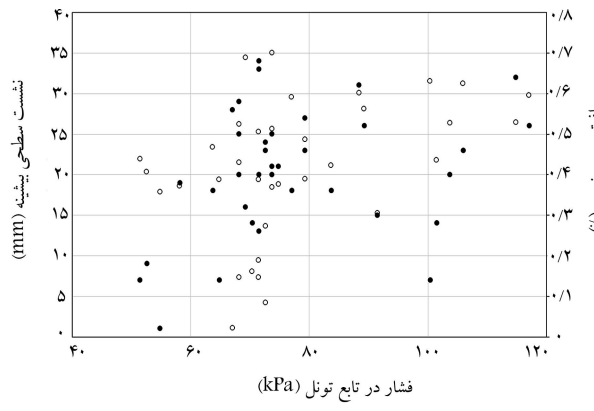
نوع خاک	در جبهه‌ی کار (%)	در انتهای سپر (%)
ماسه‌ی بالای سطح آب زیرزمینی	۳۰-۵۰	۳۰-۵۰
رس سفت	۳۰-۶۰	۳۰-۷۵
ماسه‌ی پابن سطح آب زیرزمینی	۰-۲۵	۰-۷۵
سیلت و رس نرم	۰-۲۵	۰-۳۰



شکل ۱۵. نسبت نشست جبهه‌ی تونل به نشست نهایی.

مشاهدات میدانی  $^{[۲۰]}$  مربوط به تونل سازی در ماسه‌ی سست، رس نرم، سیلت ها در ماسه‌ی متوسط تا متراکمی که بر روی لایه‌ی رس قرار گرفته است، نشان می‌دهد که بخش بزرگی از نشست ها به فضای خالی انتهای سپر مربوط است. از این رو در حالت کلی، نشست سطحی در بالای جبهه‌ی تونل کمتر از  $50\%$  نشست بیشینه (نهایی) است.<sup>[۱]</sup> شکل ۱۵ نشان می‌دهد در حد فاصل شفت غربی تا ایستگاه  $150\text{~m}$  خط  $2$  متروی تبریز نشست در بالای جبهه‌ی تونل اغلب بین  $10\%$  تا  $15\%$  نشست بیشینه (نهایی) و در حد فاصل ایستگاه  $250\text{~m}$  تا ایستگاه  $200\text{~m}$  کمتر از  $30\%$  نشست بیشینه (نهایی) بوده است. البته در دو نقطه از طول مسیر نسبت نشست جبهه‌ی تونل به نشست بیشینه (نهایی) بیشتر از  $50\%$  بوده است، اما هرگز از  $40\%$  تجاوز نکرده است. این امر نشان می‌دهد پایداری جبهه‌ی کار در طول حفاری تونل خط  $2\text{~m}$  متروی تبریز در حد مطلوبی کنترل شده است.

اگر این بحث با جزئیات بیشتری بررسی شود، نشست ناشی تونل سازی در یک مقطع به  $4\text{~m}$  بخش تقسیم می‌شود: ۱. نشست هایی که در جلوی سپر روی می‌دهند و در حالت کلی قابل صرف نظر هستند ( $\Delta_1$ )؛ ۲. نشست های جزئی که زمان کوتاهی پیش از رسیدن سپر به آن مقطع رخ می‌دهند ( $\Delta_2$ )؛ ۳. نشست هایی که طی عبور سپر به وقوع می‌پویندند ( $\Delta_3$ ) و درنهایت، ۴. نشست هایی که پس از عبور سپر و به دلیل فضای انتهایی خالی سپر اتفاق می‌افتد ( $\Delta_4$ ).<sup>[۲۱]</sup> اگر در یک مقطع دقیقاً در هنگامی که جبهه‌ی حفاری تونل به اندازه‌ی طول سپر  $9\text{~m}$  در پروژه‌ی خط  $2\text{~m}$  متروی تبریز از آن مقطع دور شده است، نشست ها اندازه‌گیری شوند، مقدار اندازه‌گیری شده در لحظه‌ی ذکر شده با  $\Delta_1 + \Delta_2 + \Delta_3 + \Delta_4$  برابر است. البته با توجه به جزئی بودن  $\Delta_1$  و  $\Delta_2$  می‌توان آنها را منتظر با  $\Delta_3$  فرض کرد. بر همین اساس در برخی از پین های خط  $2\text{~m}$  متروی تبریز، مقدار مربوط به  $\Delta_2$  قراحت و در شکل ۱۶ در نسبت آنها به نشست بیشینه (نهایی)  $(\Delta_2/S_{v,\max})$  مشاهده می‌شود که مطابق آن نسبت  $\Delta_2/S_{v,\max}$  در اغلب



کاهش حجم زمین = نشت سطحی بیشینه

شکل ۱۹. نشت سطحی نهایی و افت حجم زمین به عنوان تابعی از فشار اعمال شده به جبهه‌ی کار.

رابطه‌ی جانسز با فشار اعمال شده به جبهه‌ی کار در طول عملیات تطابق بیشتری دارد. البته در فاصله‌ی متراز ۲۰۰۰ تا ۴۰۰ که زمین کمترین مقدار چسبندگی را دارد، رابطه‌ی جانسز در جهت اطمینان نبوده و مقادیر کمتری نسبت به واقعیت پیش‌بینی کرده است. در حد فاصل ایستگاه S<sub>0</sub>۱ تا ایستگاه S<sub>0</sub>۲ و با افزایش عمق محور تونل و عمرن لایه‌ی ریزدانه‌ی بالای تونل، رابطه‌ی جانسز تطابق کمتری با واقعیت داشته است، اما کاملاً در جهت اطمینان عمل کرده است. بنابراین در حالت کلی در پروژه‌ی حاضر می‌توان به رابطه‌ی جانسز نمره‌ی قبولی داد. بررسی‌هایی که در مطالعه‌ی حاضر انجام شده است، نشان می‌دهد رابطه‌ی مستقیمی بین فشار جبهه‌ی کار و نشت سطحی در جبهه‌ی تونل (در پین‌هایی که نشت‌تراکت‌ها در جبهه‌ی تونل قرار گرفته اند) استخراج نمی‌شود. شکل ۱۹ برای بررسی رابطه‌ی احتمالی پارامترهای افت حجم زمین و نشت‌بیشینه (نهایی) با فشار اعمالی به جبهه‌ی کار رسم شده است. برای این منظور، در هر پین، میانگین فشارهای اعمالی به جبهه‌ی کار در ۴ سکم‌منت از پوشش تونل در طرفین آن پین محاسبه شده و در نهایت، این مقادیر به عنوان محور افقی شکل انتخاب شده‌اند. پراکنده‌ی داده‌های شکل ۱۹ نشان می‌دهد که ارتباط مستقیمی بین فشار جبهه‌ی کار و پارامتر افت حجم زمین وجود نداشته است. به عبارت دیگر، می‌توان گفت که در طول عملیات حفاری، با توجه به شرایط زمین، فشار جبهه‌ی کار طوری تنظیم شده است تا نشت‌تراکت‌های سطحی در محدوده‌ی مجاز باقی بمانند. مقایسه‌ی شکل ۷ با شکل ۱۸ نشان می‌دهد روند تغییرات فشار جبهه‌ی کار با نشت‌بیشینه‌ی نهایی در هر پین کاملاً متناسب بوده است؛ و در صورتی که شرایط زمین بهتر باشد، فشار کمتری به جبهه‌ی کار اعمال می‌شود. به عبارت بهتر، مقدار فشار اعمالی به جبهه‌ی کار برای نگاه داشتن نشت‌بیشینه در حد مجاز تغییر یافته است، نه برای میزان از وقوع هرگونه نشتست.

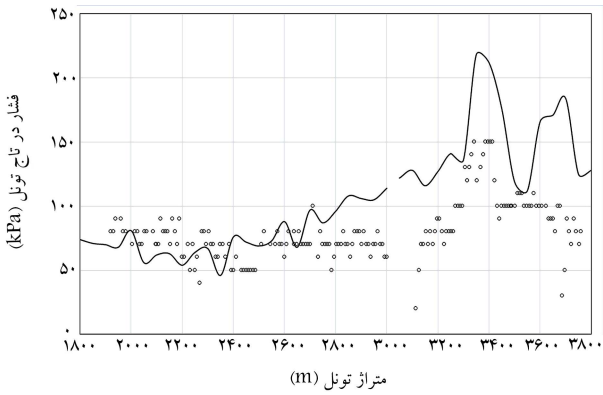
در عملیات تونل سازی با TBM، فشار تزریق دوغاب در پشت سکم‌منت‌ها نقش مستقیمی در بزرگی نشتست (به ویژه  $\Delta_2$ ) دارد. دوغاب با هدف پر کردن فضای خالی انتهای سپر در پشت سکم‌منت‌ها، بلا فاصله پس از عبور سپر تزریق می‌شود. در شکل ۲۰، مقادیر فشار تزریق دوغاب در حد فاصل ایستگاه S<sub>0</sub>۱ و S<sub>0</sub>۲ نشان داده شده است. چنانکه واضح است، تغییرات فشار تزریق در مقایسه با فشار اعمالی به جبهه‌ی کار، دامنه‌ی محدودتری داشته و تغییرات شدیدی را تجربه نکرده است. همچنین مقادیر فشار تزریق اندازه‌گیری شده با مقادیر فشار جبهه‌ی کار اندازه‌گیری شده به علاوه‌ی ۵° بار، تطابق بسیار خوبی داشته است. در عمل معمولاً

جدول ۳. معرفی پارامترهای رابطه‌ی تحلیلی جانسز - اشتینر.

پارامتر	توضیح
$\varphi$	زاویه اصطکاک داخلی خاک
$K_{a\alpha}$	ضریب فشار سه‌بعدی خاک در حالت فعال
$\alpha$	ضریب عمق تونل
$C$	روباره‌ی تونل
$D$	قطر تونل
$\beta$	زاویه‌ی گسیختگی با سطح افق

جدول ۴. تعیین زاویه‌ی لغزش گوهی گسیختگی (جانسز - اشتینر).

$K_{a\alpha}$	$\frac{C}{D}$
۴۰	۲۰
۳۵	۰,۳۸۶
۳۰	۰
۲۵	۰,۳۱۰
۰,۱۰۹	۰,۲۴۸
۰,۱۴۱	۰,۲۷۹
۰,۱۳۸	۰,۳۵۴
۰,۱۳۶	۰,۲۷۳
۰,۱۷۱	۰,۳۴۸
۰,۱۷۳	۰,۲۱۷
۰,۲۱۴	۰,۲۷۱
۰,۲۱۲	۰,۳۴۵



شکل ۱۸. مقادیر فشار اعمال شده به جبهه‌ی کار در طول حفاری تونل و مقایسه‌ی آن‌ها با رابطه‌ی تحلیلی جانسز - اشتینر.

$$\sigma_T = K_{a\alpha} \sigma'_v \quad (7)$$

$$K_{a\alpha} = \frac{\sin \beta \cos \beta - \cos^2 \beta \tan \varphi - \frac{K \alpha \cos \beta \tan \varphi}{1.5}}{\sin \beta \cos \beta + \sin^2 \beta \tan \varphi} \quad (8)$$

$$K = (1 - \sin \varphi + \tan^2 (45 - \frac{\varphi}{\gamma})) \quad (9)$$

$$\alpha = \left( 1 + \frac{3C}{D} \right) / \left( 1 + \frac{2C}{D} \right) \quad (10)$$

پارامترهای مورد استفاده در رابطه‌ی تحلیلی جانسز در جدول ۳ معرفی شده است. در رابطه‌ی اخیر، زاویه‌ی لغزش گوه با استفاده از جدول ۴ برای مقاطع مختلف محاسبه شده است که در آن زاویه‌ی لغزش به صورت تابعی از نسبت روباره به قطر تونل و زاویه‌ی اصطکاک داخلی برای مقاطع مختلف تعیین می‌شود.<sup>[۱۹]</sup> در شکل ۱۸، مقادیر اندازه‌گیری شده‌ی فشار جبهه‌ی کار در فواصل ۹ متری (طول ۶ حلقه‌ی سکم‌منت) و همچنین مقادیر محاسبه شده توسعه روابطه‌ی جانسز - اشتینر مشاهده می‌شود که مطابق آن در حد فاصل شفت غربی تا ایستگاه S<sub>0</sub>۱ است.

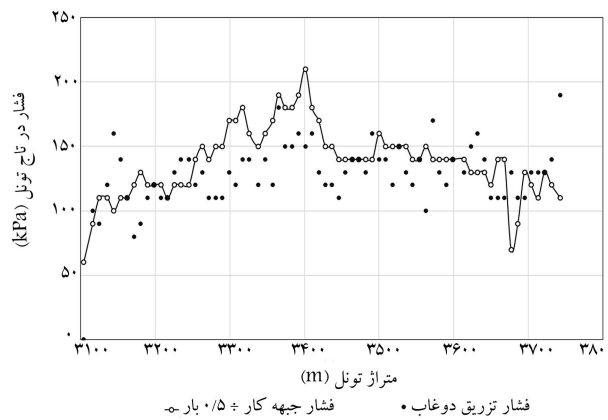
۱. رابطه‌ی تجربی گاوس در محاسبه‌ی نشسته‌های عرضی تطبیق بهتری با واقعیت دارد و نشسته‌های طولی را در حد فاصل  $\pm 2\%$  با اختلاف مشهودی بیشتر از واقعیت محاسبه کرده است. همچنین فرض  $y_i = x_i$  چندان دقیق نیست.

۲. سهم فضای خالی انتهای سپر در تکامل نشسته‌های بیشینه (نهایی) بیشتر از سایر مؤلفه‌های وقوع نشست بوده و به طور میانگین بیش از ۵۰٪ از مقدار نشسته‌ها در انتهای سپر و هم‌زمان با تزریق دروغاب بخ داده است.

۳. در طول عملیات حفاری خط ۲ متروی تبرین، تغییرات فشار جبهه‌ی کار توسط اپراتور به گونه‌ی تنظیم شده است که نشسته‌ها تقریباً از محدوده‌ی مجاز تجاوز نکنند و رابطه‌ی مشخصی بین مقادیر فشار اعمالی به جبهه‌ی کار و پارامترهای نشست بیشینه و افت حجم زمین استخراج نمی‌شود.

۴. با توجه به وجود چسبندگی انداک خاک در طول مسیر مورد بررسی متروی تبرین رابطه‌ی جانسز-اشتینز در محاسبه‌ی فشار جبهه‌ی کار در جهت اطمینان عمل کرده و مقادیر بیشتری را نسبت به آنچه که عملاً اعمال شده، محاسبه کرده است.

۵. متوسط نشست بیشینه (نهایی) حدود ۲۰ میلی‌متر و متوسط افت خاک ۴۵٪ نشان می‌دهد که در اجرای پروژه‌ی خط ۲ متروی تبریز در حد فاصل شفت غربی با ایستگاه S<sup>۰۲</sup>، کنترل خوبی بر فرایند حفاری و نشسته‌های ناشی از آن صورت گرفته است.



شکل ۲۰. مقادیر فشار تزریق دروغاب در پشت سگمنت‌ها در طول حفاری و در حد فاصل ایستگاه ۱ S<sup>۰۲</sup> تا ایستگاه S<sup>۰۲</sup>.

فشار تزریق را برابر «فشار جبهه‌ی کار به علاوه‌ی ۵/۰ بار» فرض می‌کنند. [۲۰] نتایج خط ۲ متروی تبریز صحت این فرض را تأیید می‌کنند. بر اساس شکل ۲۰ در حوالی متراز ۳۳۰۰، فشار تزریق از «فشار جبهه‌ی کار به علاوه‌ی ۵/۰ بار» کمتر و تقریباً با فشار جبهه‌ی کار برابر بوده است. با مراجعه به شکل‌های ۷ و ۱۶ مشخص است که بیشترین مقادیر افت حجم زمین در متراز ۳۳۰۰ و پیرامون آن اتفاق افتاده است. این در حالی است که کمترین مقادیر نسبت نشست جبهه‌ی حفاری به نشست بیشینه (نهایی) نیز به متراز ۳۳۰۰ مربوط است. بنابراین می‌توان گفت پایین بودن فشار تزریق در متراز ۳۳۰۰، منجر به افزایش نشست و افت بیشتر حجم زمین شده است.

## تشکر و قدردانی

درنهایت از سازمان قطار شهری تبریز و مدیر محترم پروژه‌ی خط ۲ متروی تبریز که با هم‌دلی و همکاری و در اختیار گذاشتن اطلاعات پروژه‌ی متروی تبریز اشتیاق و افر خود را جهت رشد پژوهش‌های علمی و کاربردی نشان دادند، صمیمانه تقدیر و تشکر می‌شود.

## ۵. نتیجه‌گیری

در مطالعه‌ی حاضر، در حفاری تونل سطحی در خاک عمدها درشت‌دانه با چسبندگی کم، این نتایج به دست آمده است:

## پانوشت‌ها

17. Taylor
18. Craig
19. Muir Wood
20. field observation
21. Jancsecz
22. Steiner

## منابع (References)

1. Lambrughi, A., Medina Rodriguez, L. and Castellanza, R. "Development and validation of a 3D numerical model for TBM-EPB mechanized excavation", *Computers and Geotechnics*, **40**, pp. 97-113 (2012).
2. Farnoli, V., Boldini, D. and Amorosi, A. "TBM tunnelling-induced settlements in coarse-grained soils: The case study of the new underground line 5", *Tun-*

- nelling and Underground Space Technology*, **38**, pp. 336-347 (2013).
3. Peck, R.B. "Deep excavation and tunnelling in soft grounds", 7th International Conference on Soil Mechanics and Foundation Engineering, Mexico City, State of the Art Volume, pp. 225-290 (1969).
  4. Potts, D.M. and Addenbrooke, T.I. "A structure's influence on tunnelling-induced ground movements", *Proceeding of institution of Civil Engineers-Geotechnical Engineering*, **125**(2), pp. 109-125 (Apr., 1997).
  5. Moh, Z.C. and Hwang, R.N. "Ground movements around tunnels in soft ground", Int. Symposium on Geotechnical Aspects of Underground Construction in Soft Ground, London, Balkema, pp. 725-730 (1996).
  6. Eslami, B. and Golshani, A. "3D stability analysis of heterogeneous face excavation by TBM-EPB machine - case study line2 METRO of mashhad", *Sharif Journal of Civil Engineering*, **33.2**(1.1), pp. 121-128 (2017).
  7. Heidari Sheiban, R., Zare, S., Mirzaei, H. and et al. "Numerical study of face pressure effect on surface settlement in soft ground mechanized tunneling-A case study: Tehran metro line 7", *Tunneling & Underground Space Engineering (TUSE)*, **1**(1), pp. 57-67 (2013).
  8. Rahmannejad, R., Esfandiary, M., Namazi, E. and et al. "Numerical analysis of longitudinal and transverse surface settlement induced by EPB tunneling-A case Study: Shiraz subway tunnels", *Tunneling & Underground Space Engineering (TUSE)*, **2**(2), pp. 87-100 (2014).
  9. Katebi, H., Rezaei, A.H., Hajialilue-Bonab, M. and et al. "Assessment the influence of ground stratification, tunnel and surface buildings specification on shield tunnel lining loads (by FEM)", *Tunnelling and Underground Space Technology*, **49**, pp. 67-78 (2015).
  10. Moeller, S. "Tunnel induced settlements and structural forces in linings", PhD Thesis, University of Stuttgart (2006).
  11. O'Reilly, M.P. and New, B.M. "Settlements above tunnels in United Kingdom-their magnitude and prediction", *Tunnelling '82 Symposium*, London IMM, pp.173-181 (1982).
  12. Mair, R.J. and Taylor, R.N. "Theme lecture: Bored tunnelling in the urban environment", *14th Int. Conf. on SMFE, Hamburg*, 4, pp. 2353-2385 (1997).
  13. Attewell, P.B. and Woodman, J.P. "Predicting the dynamics of ground settlement and its derivatives caused by tunnelling in soil", *Ground Engineering*, **15**(8), pp. 13-22 (1982).
  14. Mair, R.J. "Settlement effects of bored tunnels", Int. Symposium on Geotechnical Aspects of Underground Construction in Soft Ground, London, Balkema, pp. 43-53 (1996).
  15. Attewell, P.B., Yeates, J. and Selby, A.R. "Soil movements induced by tunnelling and their effects on pipelines and structures", Blackie, Glasgow (1986).
  16. Craig, R.N. and Muir Wood, A.M. "A review of tunnel lining practice in the United Kingdom", 335, Transport and Road Research Laboratory (1978).
  17. BAh, H., ZamZam, M. and Mousavi, E. "Evaluation face minimum pressure for urban tunneling using an EPB machine and analytical and numerical methods case study: Tunnel for line 7, Tehran subway (East-West)", *Sharif Journal of Civil Engineering*, **31.2**(3.1), pp. 137-145 (2015).
  18. Guglielmetti, V., Grasso, P., Mahtab, A. and et al. "Mechanized Tunnelling in Urban Areas: Design methodology and construction control", Taylor & Francis Group, London, UK (2008).
  19. Jancsecz, S. and Steiner, W. "Face support for a large mix-shield in heterogeneous ground conditions", *Tunnelling'94*: Springer, pp. 531-550 (1994).
  20. Maidl, B., Herrenknecht, M., Maidl, U. and et al. *Mechanised Shield Tunnelling*, 2nd Edition, Wiley (2012).